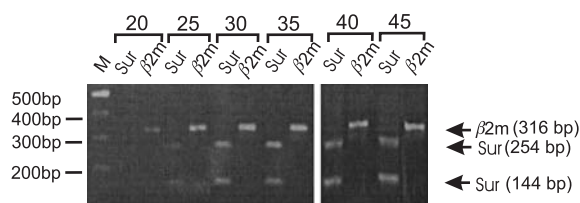


پلاتو (plateau)، RNA کل (Total RNA) حاصل از بیوپسی مغز موش در شرایط RNase-free تهیه و کمیت و کیفیت RNA به دست آمده به کمک اسپکتروفتومتری و الکتروفورز ژل آگارز بررسی شد (نتیجه نشان داده نشده است). در بررسی ژل دو باند ۱۸S و ۲۸S RNA ریبوزومی (rRNA) به وضوح قابل رؤیت است که مؤید عدم تجزیه (RNA) degradation و همچنین نسبت به دست آمده A_{260}/A_{280} بین ۱/۸ و ۲ نشان دهنده درجه بالای خلوص RNA و نیز عدم آغستگی آن با پروتئین و DNA ی ژنومی است.

برای انتخاب تعداد سیکل مناسب PCR، برای هر ژن ۶ تیوپ همسان حاوی مخلوط PCR تهیه شد و از سیکل ۲۰ تا ۴۵ام، به ازاء هر ۵ سیکل، یک تیوپ از دستگاه خارج و محصول PCR با ژل آگارز ۱/۵ درصد بررسی شد. باندهای حاصل متناسب با اندازه قطعه طراحی شده برای β_2m (۳۱۶bp) و ژن survivin (۲۵۴bp) می باشد و شدت سیگنال به دست آمده یک افزایش نسبتاً خطی در راستای افزایش تعداد سیکل PCR را نشان می دهد (شکل ۱). این نتیجه بیانگر آن است که عامل یا عوامل محدود کننده ای در محتویات موجود در واکنش PCR به ویژه در سیکل های پایین تر وجود ندارد. برای ادامه تحقیق از تعداد سیکل ۲۵ برای β_2m و ۳۰ برای survivin استفاده شد.



شکل ۱: طرح الکتروفورزی محصول RT-PCR مربوط به انتخاب تعداد مناسب سیکل PCR روی ژن survivin (۲۵۴ و ۱۴۴ جفت باز) و β_2m موش (۳۱۶ جفت باز): ستون ۱ مارکر ستون‌های بعدی به ترتیب محصول سیکل‌های ۲۰ الی ۴۵ را نشان می‌دهد

شناسایی دو واریانت ویرایشی مختلف ژن survivin

به منظور بررسی پروفیل بیان ژن survivin در مراحل مختلف تکوین، بیوپسی مغز از سنین مختلف موش (جنینهای ۱۱ و ۱۷ روزه، و نوزادان ۱ تا ۳۰ روزه) تهیه و بیان ژن survivin آنها به کمک تکنیک RT-PCR بررسی شد. در کلیه گروه‌های مورد بررسی علاوه بر شناسایی قطعه تکثیر شده survivin با اندازه مورد انتظار (۲۵۴bp) یک محصول دیگر با اندازه تقریبی ۱۴۴bp شناسایی شد (شکل ۱، ۲). شدت بیان این محصول در تمامی گروه‌های سنی به مراتب کمتر از شدت بیان محصول مورد انتظار بود. برای تایید ماهیت این دو محصول، هضم آنزیمی بر روی قطعات ترابید یافته در واکنش PCR انجام گرفت. آنزیم EcoRI با حذف یک قطعه ۱۲ جفت بازی از قسمت ۵' توالی مورد نظر تولید دو محصول کوچکتر با

میکرولیتر RNasin (۴۰/U μ l) [Fermentas]: ۰/۵ میکرولیتر، MgCl₂ (۵۰ mM) [Eurobio]: ۰/۵ میکرولیتر و آنزیم MMLV [Invitrogen] (۲۰۰ /U μ l): ۱ میکرو لیتر اضافه و حجم نهایی با آب به ۲۰ میکرولیتر رسانده شد. سپس، ابتدا به مدت ۱ ساعت در دمای ۳۷ درجه سانتی گراد و پس از آن به مدت ۱۵ دقیقه در دمای ۷۰ درجه سانتی گراد انکوبه شد. محصول واکنش در دمای ۲۰- درجه سانتی گراد نگهداری شد.

واکنش PCR (Polymerase Chain Reaction)

به ۵ میکرولیتر از محصول واکنش RT، بافر تکثیر ۱۰X [سینان]: ۵ میکرولیتر، dNTP (۱۰ mM) [Eurobio]: ۱ میکرو لیتر، آنزیم Taq Polymerase [سینان]: ۰/۳ واحد و مخلوط پرایمر (بالا دست و پایین دست؛ ۱۰ μ M) هر کدام ۲/۵ میکرولیتر و آب تا حجم نهایی ۵۰ میکرولیتر اضافه شد و ۳۰-۲۵ سیکل به صورت Denaturation (۹۴ درجه سانتی گراد، ۳۰ ثانیه)، Annealing (۵۵ درجه سانتی گراد، ۳۰ ثانیه) و Extention (۷۲ درجه سانتی گراد، ۱ دقیقه) در دستگاه ترمال سایکلر اجرا شد. همچنین در انتهای واکنش، یک سیکل Extention نهایی (۷۲ درجه سانتی گراد) به مدت ۱۰ دقیقه اجرا و محصول PCR با ژل الکتروفورز ۱/۵ درصد بررسی شد.

هضم محصول PCR

به منظور کسب اطمینان از هویت قطعه تکثیر شده با PCR، الگوی هضم محصول PCR مورد بررسی قرار گرفت. آنزیم EcoRI برای برش قطعه تکثیری ژن survivin انتخاب شد که این قطعه را در محل نوکلئوتید ۲۹۸ از توالی mRNA برش می زند و دو قطعه کوچکتر (۱۲ و ۲۴۲ جفت بازی) ایجاد می کند. محصول واکنش هضم با ژل پلی آکریل آمید ۸ درصد بررسی شد.

آنالیز آماری

محصول PCR تحت تابش نور ماورای بنفش و به واسطه حضور اتیدیم بروماید در ژل آگارز رؤیت و از آن عکس برداری شد. شدت سیگنال های هر باند به کمک نرم افزار (Labimage نگارش ۲/۶، کمپانی Kapelan GmbH) سنجیده شد و نتایج حاصله از ۳ تکرار برای هر گروه سنی با آزمون های ANOVA و LOSD آنالیز آماری شد.

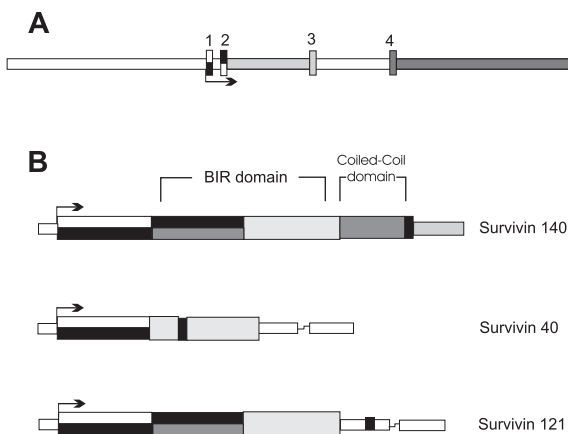
یافته‌ها

بهینه سازی واکنش PCR

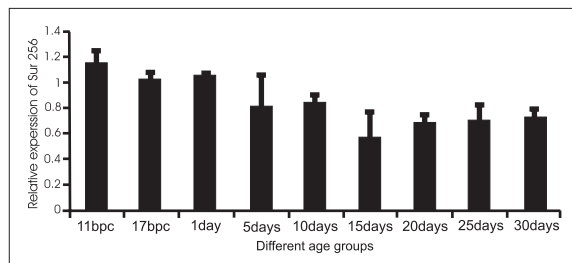
برای بهینه سازی واکنش PCR و انتخاب تعداد سیکل مناسب، وجود سیگنال قابل رؤیت قبل از وارد شدن واکنش PCR به فاز

survivin هر گروه، ناشی از اختلاف در میزان RNA ی به کار رفته اولیه نبوده است، از ژن β_2m به عنوان کنترل داخلی استفاده شد. برای هر گروه سنی واکنش RT-PCR با شرایط یکسان برای دو ژن survivin و β_2m انجام شد و نتایج حاصل به طور مقایسه‌ای مورد استفاده قرار گرفت. الکتروفورز محصولات PCR برای ژن، survivin دو بانده با اندازه‌های مختلف را نشان داد که اندازه‌های به دست آمده معادل با اندازه قطعه تزیاید یافته برای β_2m (316 bp) و Survivin (254 bp و 144 bp) می‌باشد (شکل ۲ و ۳).

این آزمایش در سه سری مختلف از موش‌ها تکرار شد و شدت سیگنال برای کلیه باندها به کمک نرم افزار Labimage سنجیده شد. نمودار ۲ میانگین شدت نسبی بیان واریانت بزرگتر ژن survivin (survivin 140) به β_2m را در گروه‌های مختلف سنی نشان می‌دهد. آنالیز آماری موید آن است که بیان نسبی survivin 140 در قبل و هنگام تولد به طور معنی داری از بیان نسبی آن در بعد از تولد بیشتر می‌باشد (نمودار ۲). با این وجود بیان نسبی واریانت کوچکتر survivin (Survivin 40) در قبل و بعد از تولد ثابت بود و هیچ‌گونه تغییر معنی داری را نشان نداد (نتایج نشان داده نشده است).

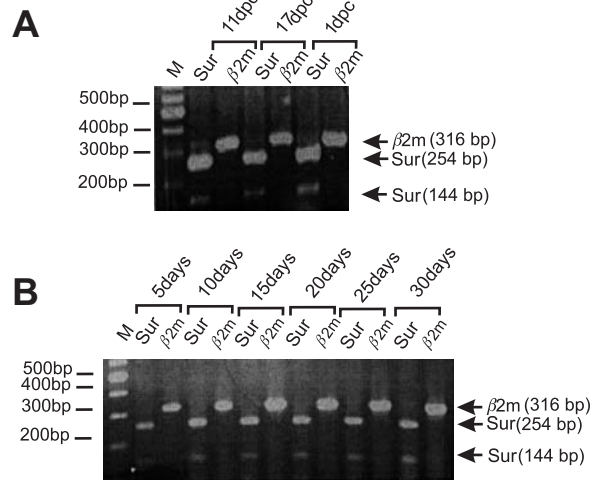


نمودار ۱: تصویری شماتیک از سازماندهی نواحی اگزونی و اینترونی ژن survivin بر روی کروموزوم ۱۱E۲ (A) و نیز نحوه پردازش رونوشت اولیه در تولید سه واریانت مختلف survivin (B).

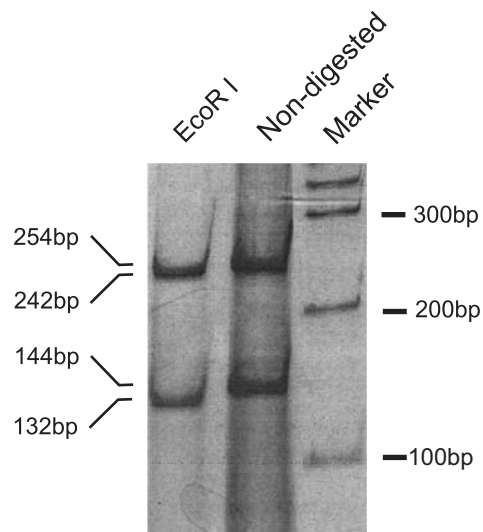


نمودار ۲: شدت نسبی محصول RT-PCR واریانت 254 جفت بازی ژن survivin در سنین مختلف موش. اندازه گیری در هر گروه سنی به صورت شدت باند survivin به باند β_2m می‌باشد. نتایج به صورت Mean \pm SEM نشان داده شده است.

اندازه های تقریبی 242bp و 144bp را نمود (شکل ۳).



شکل ۲: طرح الکتروفورزی محصول RT-PCR ژنهای β_2m و survivin در طی تکوین مغز موش، قسمت A: ستون ۱ مارکر و ستون‌های بعدی به ترتیب محصول RT-PCR روی نمونه‌های RNA گروه‌های سنی جنین ۱۱ و ۱۷ روزه و نیز موش یک روزه را نشان می‌دهد. قسمت B: ستون ۱ مارکر و ستون‌های بعدی به ترتیب محصول RT-PCR روی نمونه‌های RNA گروه‌های سنی ۵ تا ۳۰ روزه را نشان می‌دهد



شکل ۳: طرح الکتروفورزی هضم محصول RT-PCR روی ژل پل‌آکریل‌آمید ۸ درصد. آنزیم EcoR I با حذف ۱۲bp از انتهای قطعه تکثیری از ژن survivin موشی محصولات هضم شده کوچکتری را ایجاد کرد.

بررسی نیمه کمی واریانت های survivin در حین تکوین مغز موش

برای حصول اطمینان از اینکه RNA به میزان برابر در هر واکنش به کار رفته و تفاوت احتمالی در شدت سیگنال باند مربوط به ژن

بحث

برقراری یک تعادل موزون بین تکثیر سلولی، بقا سلولی و آپوپتوز نقش مهمی در تکوین سیستم عصبی و ایجاد اتصالات نورونی (تشکیل سیناپسها) دارد. از طرف دیگر برهم خوردن این تنظیم پیامدهای کلینیکی متعددی را به همراه دارد؛ به طوری که افزایش در تکثیر سلولی و یا کاهش در نرخ آپوپتوز در ایجاد انواع تومورهای مغزی و افزایش بیش از حد آپوپتوز در بیماریهای تحلیل رونده عصبی دخالت دارد (۳). در نتیجه بررسی وقایع مولکولی درگیر در تقسیم سلولی و آپوپتوز از اهمیت به سزایی در زمینه علل شناسی بیماری و نیز ارائه روشهای هوشمند درمانی برخوردار است.

Survivin عضو جدیدی از خانواده مهارکننده آپوپتوز (IAP) است که نقشی دوگانه در تنظیم تقسیم سلولی و نیز مهار آپوپتوز دارد (۵). پروتئین survivin که در فاز (G₀M/) بیان می شود و بیان آن در طی چرخه سلولی تنظیم می شود برای انجام صحیح میتوز و تقسیم سلولی مورد نیاز است و نقص در آن می تواند به فعال شدن یک نقطه ی کنترلی چرخه سلولی و نهایتاً القای آپوپتوز بیانجامد (۱۱). این نیاز ظاهری به survivin جهت تقسیم سلولی طبیعی پیشنهاد می کند که بیش بیان این پروتئین (که به عنوان مثال در بسیاری از تومورها دیده می شود) می تواند کنترل طبیعی چرخه سلولی را برهم بزند. چنین پاسخی ممکن است دلیلی مناسب برای فعالیت ضد آپوپتوزی survivin باشد و ارتباط نزدیک بین نقاط کنترلی چرخه سلولی و تعهد به آپوپتوز را نشان دهد (۱۱، ۱۲).

علی رغم میانجیگری ژن survivin در هموستازی بافتها و نقش برجسته آن در مهار آپوپتوز، تاکنون بر روی بیان ژن و نیز نسبت بیان واریانتهای مختلف آن در حین تکوین مغز هیچ گونه تحقیقی صورت نگرفته است. در این تحقیق برای نخستین بار بیان این ژن در طی تکوین مغز مورد بررسی قرار گرفت. یافته های این تحقیق بیان دو واریانت survivin ۱۴۰ و survivin ۴۰ را در مغز گزارش می کند که از این میان شدت بیان survivin ۱۴۰ بیشتر از واریانت دوم بوده و نیز اینکه میزان بیان در دوران قبل از تولد بیشتر از دوران بعد از تولد است. این یافته در راستای مطالعات پیشین است که کاهش و یا خاموشی بیان این ژن را در بافتهای بالغ گزارش کرده است (۵). بیان بالای survivin در دوران قبل از تولد (و هنگام تولد) نیز یک هم زمانی را با اوج انجام نورون زایی در این دوران نشان می دهد (۱۳). در مقایسه، بیان survivin ۴۰ در تمامی گروههای سنی تقریباً ثابت ماند. نقش زیستی مستقیم و یا غیر مستقیم این واریانت در نورون زایی و آپوپتوز سیستم عصبی مشخص نیست و نیازمند تحقیقات بیشتری می باشد اما احتمالاً از آنجا که survivin ۴۰ دامین پایانه N را دارد ممکن است با اشکال دیگر Survivin دایمرهایی تشکیل دهد و بنابراین عملکرد کلی اشکال دیگر survivin را تنظیم و تعدیل نماید (Conway مکاتبه شخصی).

در تضاد با گزارش Conway و همکاران (۷) که بیان واریانت

survivin ۱۲۱ را در اکثر بافتهای موش گزارش کرده بود، در این مطالعه وجود این واریانت در مغز تشخیص داده نشد. برای تمایز بین survivin ۱۴۰ و survivin ۱۲۱ ما از یک پرایمر پایین دست دوم که مکمل توالی موجود بر روی اینترون شماره ۳ است، استفاده کردیم (۷). این پرایمر تنها قادر به تکثیر survivin ۱۲۱ می باشد و واریانتهای دیگر survivin که فاقد این قطعه در رونوشت خویش هستند، تکثیر نمی شوند. به کارگیری این پرایمر هیچگونه محصولی را تکثیر نکرد. با توجه به اینکه در گزارش Conway و همکاران از پرایمر پایین دست (دوم) یکسانی برای تشخیص survivin ۱۲۱ استفاده شد می توان نتیجه گیری کرد که این واریانت در مغز تشکیل نمی شود. این نتیجه گیری هماهنگ با یک یافته قبلی است که بیان یک واریانت انسانی معادل با واریانت، survivin ۴۰ و واریانت survivin ۱۲۱ را در یک لاین سلولی نوروبلاستومای انسانی گزارش کرده است (۷). اهمیت فیزیولوژیکی بیان متمایز survivin در بافتهای مختلف نیازمند تحقیقات بیشتری می باشد.

وجود واریانتهای مختلف ژن survivin موسوم به survivin deltaEx^۳ - (فاقد اگزون ۳) و survivin-2B (دارای قسمتی از اینترون ۲) در انسان نیز گزارش شده است (۱۴). این واریانتهای دارای خصوصیات ضد آپوپتوتیک مختلف بوده و احتمالاً نسبت آنها به وسیله مکانیسم های کنترلی پیچیده ای تنظیم می شود. همچنین ادعا شده است که بیان این واریانتهای در پیشرفت تومور و نیز در رفتار کلینیکی تومور نقش دارد (۱۵، ۱۶). گزارشی نیز مبنی بر جایابی زیر سلولی متمایز این واریانتهای ارائه شده است. در حالی که survivin و survivin-2B ترجیحاً در سیتوپلاسم محل یابی شدند، survivin-deltaEx³ در هسته مستقر می باشد (۱۷). در یک جمع بندی اولیه این گونه به نظر می رسد که در تنظیم آپوپتوز نه تنها میزان بیان survivin بلکه نحوه پردازش رونوشت اولیه و تولید واریانتهای مختلف ویرایشی دخالت دارند. لذا بررسی بیان واریانتهای مختلف ژن در تومورهای مغزی و مقایسه آن با بافت سالم اطلاعات کلینیکی با ارزشی را به همراه خواهد داشت. اخیراً بیان گسترده ژن survivin در طیف وسیعی از تومورهای مغزی (گلیوما، مننژیوما و شوآنوما) گزارش شده است؛ همچنین ادعا شده است که این بیان متناسب با درجه بدخیمی و پیش آگهی ضایعه می باشد (۱۸، ۱۹، ۲۰). این یافته survivin را به عنوان یک هدف بالقوه برای ایمونوتراپی تومورهای مغزی معرفی می کند (۲۱). در تحقیق حاضر الگوی زمانی بیان survivin در نمونه های به دست آمده از کل مغز تعیین شد.

با توجه به اینکه اوج نورون زایی و آپوپتوز در نواحی مختلف مغز (نظیر مخ و مخچه) از نظر زمانی تفاوتی را نشان می دهد (۱۳)؛ لذا بررسی دقیق تر از نحوه بیان ژن در سیستم عصبی نیازمند نمونه گیری مسجرا از نواحی مختلف مغز می باشد. همچنین با توجه به اینکه بافت مغزی از دو رده سلولی کاملاً

تقدیر و تشکر

در این تحقیق از کمکها و مساعدتهای آقایان اشرفی، فراز و پوربیرانوند و نیز خانمها جمشیدی، دیداری و ابراهیمی بهره‌مند شده ایم که بدین وسیله از زحمات و مساعدتهای این عزیزان سپاسگزاری می‌شود. کلیه هزینه‌های این تحقیق از محل بودجه تحقیقاتی مصوب در دانشگاه تربیت مدرس به انجام رسیده است.

متمایز (نورون و گلیا) تشکیل شده است و بر خلاف سلولهای نورونی، سلولهای گلیا قدرت تقسیم خود را همواره حفظ می‌کنند، بررسی الگوی مکانی بیان ژن به کمک تکنیک هیبریداسیون درجا و یا تعیین محل حضور پروتئین به کمک تکنیک ایمونوسیتوشیمی اطلاعات تکمیلی با ارزشی را به همراه خواهد داشت.

References

- Vaux DL, Strasser A: The molecular biology of apoptosis. *Proc Natl Acad Sci USA*. 1996; 93(6): 2239-2244
- Li H, Yuan J: Deciphering the pathways of life and death. *Curr Opin Cell Biol*. 1999; 11(2): 261-266
- Raff MC, Barres BA, Burne JF, Coles HS, Ishizaki Y, Jacobson MD: Programmed cell death and the control of cell survival: lessons from the nervous system. *Science*. 1993; 262(5134): 695-700
- Gordon N: Apoptosis (programmed cell death) and other reasons for elimination of neurons and axons. *Brain Dev*. 1995; 17(1): 73-77
- Ambrosini G, Adida C, Altieri DC: A novel anti-apoptosis gene, survivin, expressed in cancer and lymphoma. *Nat Med*. 1997; 3(8): 917-921
- Shin S, Sung BJ, Cho YS, Kim HJ, Ha NC, Hwang JI, Chung CW, Jung YK, Oh BH: An anti-apoptotic protein human survivin is a direct inhibitor of caspase-3 and -7. *Biochemistry*. 2001; 40(4): 1117-1123
- Conway EM, Pollefeyt S, Cornelissen J, DeBaere I, Steiner-Mosonyi M, Ong K, Baens M, Collen D, Schuh AC: Three differentially expressed survivin cDNA variants encode proteins with distinct antiapoptotic functions. *Blood*. 2000; 95(4): 1435-1442.
- نیک پور پروانه، مولی سید جواد، موحدین منصوره: بررسی بیان ژن CatSper در بیضه موش در سنین مختلف رشد. *یاخته*، ۱۳۸۱ شماره، ۱۵، صفحات ۱۲۵-۱۱۹
- National Center for Biotechnology Information: <http://www.ncbi.nlm.nih.gov>
- Blast the Mouse Genome: <http://www.ncbi.nlm.nih.gov/genome/seq/MmBlast.html>
- Kobayashi K, Hatano M, Otaki M, Ogasawara T, Tokuhisa T: Expression of a murine homologue of the inhibitor of apoptosis protein is related to cell proliferation. *Proc Natl Acad Sci USA*. 1999; 96(4): 1457-1462
- Reed JC: The Survivin saga goes in vivo. *J Clin Invest*. 2001; 108(7): 965-969
- Lossi L, Merighi A: In vivo cellular and molecular mechanisms of neuronal apoptosis in the mammalian CNS. *Prog Neurobiol*. 2003 69(5): 287-312
- Mahotka C, Wenzel M, Springer E, Gabbert HE, Gerharz CD: Survivin-deltaEx3 and survivin-2B: two novel splice variants of the apoptosis inhibitor survivin with different antiapoptotic properties. *Cancer Res*. 1999; 59(24): 6097-6102
- Krieg A, Mahotka C, Krieg T, Grabsch H, Muller W, Takeno S, Suschek CV, Heydthausen M, Gabbert HE, Gerharz CD: Expression of different survivin variants in gastric carcinomas: first clues to a role of survivin-2B in tumour progression. *Br J Cancer*. 2002; 86(5): 737-743
- Mahotka C, Krieg T, Krieg A, Wenzel M, Suschek CV, Heydthausen M, Gabbert HE, Gerharz CD: Distinct in vivo expression patterns of survivin splice variants in renal cell carcinomas. *Int J Cancer*. 2002; 100(1): 30-36
- Mahotka C, Liebmann J, Wenzel M, Suschek CV, Schmitt M, Gabbert HE, Gerharz CD: Differential subcellular localization of functionally divergent survivin splice variants. *Cell Death Differ*. 2002; 9(12): 1334-1342
- Sasaki T, Lopes MB, Hankins GR, Helm GA: Expression of survivin, an inhibitor of apoptosis protein, in tumors of the nervous system. *Acta Neuropathol (Berl)*. 2002; 104(1): 105-109
- Kajiwara Y, Yamasaki F, Hama S, Yahara K, Yoshioka H, Sugiyama K, Arita K, Kurisu K: Expression of survivin in astrocytic tumors: correlation with malignant grade and prognosis. *Cancer*. 2003; 97(4): 1077-1083
- Chakravarti A, Noll E, Black PM, Finkelstein DF, Finkelstein DM, Dyson NJ, Loeffler JS: Quantitatively determined survivin expression levels are of prognostic value in human gliomas. *J Clin Oncol*. 2002; 20(4): 1063-1068
- Katoh M, Wilmotte R, Belkouch MC, de Tribolet N, Pizzolato G, Dietrich PY: Survivin in brain tumors: an attractive target for immunotherapy. *J Neurooncol*. 2003; 64(1-2): 71-76



غنی‌سازی سلولهای دندریتیک دست نخورده خون محیطی به روش بید مغناطیسی متصل به آنتی‌بادی

نادره نادری M.Sc.، علی‌اکبر پورفتح‌الله Ph.D.، کامران علی مقدم M.D.، اردشیر قوام‌زاده M.D.، محمد مؤذنی Ph.D.،
*دانشگاه تربیت مدرس، دانشکده پزشکی، گروه ایمونولوژی
* سازمان انتقال خون ایران، مرکز تحقیقات
* دانشگاه علوم پزشکی تهران، مرکز تحقیقات هماتولوژی و انکولوژی
* آدرس مکاتبه: تهران صندوق پستی: ۱۱۱-۱۴۱۱۵، دانشگاه تربیت مدرس، دانشکده پزشکی، گروه ایمونولوژی
پست الکترونیک: Email: Moazzeni@yahoo.com

چکیده

دریافت مقاله: ۸۲/۱۰/۲۲، پذیرش مقاله: ۸۳/۴/۲۴

* **هدف:** جدا سازی سلولهای دندریتیک (DCs) خون محیطی به صورت دست نخورده (Intact Peripheral Blood Dendritic Cells) با استفاده از روش انتخاب منفی (Negative Selection) به کمک روش روزت و Immunomagnetic depletion

* **مواد و روشها:** در ابتدا سلولهای تک هسته‌ای خون محیطی با استفاده از فایکول جدا شده و لنفوسیت‌های T با اتصال به گلبولهای قرمز گوسفند تیمار شده با AET حذف گردیدند. سلولهای دارای شاخص‌های رده‌ای (Lineage Marker) با استفاده از آنتی‌بادیهای مونوکلونال (mAbs) اختصاصی ضد شاخص‌های رده‌ای، CD3، CD11b، CD14، CD16، CD19، CD56 و بیدهای مغناطیسی واجد anti-mouse IgG از سلولهای باقیمانده خارج شدند. درصد خلوص سلولهای دندریتیک به دست آمده با دو خصوصیت عدم حضور شاخص‌های رده‌ای و حضور آنتی‌ژن HLA-DR، با استفاده از دستگاه فلوسایتومتر اندازه‌گیری شد.

* **نتایج:** نتایج به دست آمده از بررسی‌های فلوسیتو متری نشان می‌دهد که جمعیت قابل توجهی (۴/۵ درصد \pm ۵/۸ درصد) از سلولهای جدا شده قادر به واکنش با mAbهای ضد شاخصهای رده‌ای نیستند ولی آنتی ژن HLA-DR را ابراز می‌کنند.

* **نتیجه گیری:** روش Immunomagnetic depletion روشی جدید برای جداسازی DCs است که برخلاف روش‌های کلاسیک مطرح، قادر به جداسازی DCs به صورت دست نخورده است. این تحقیق، نخستین تحقیق در این زمینه در کشور است و میزان خلوص DCs به دست آمده در این بررسی مشابه مطالعات خارجی است. غنی‌سازی بالای DCs دست نخورده، راه مطالعه در مورد عملکرد طبیعی DCs در زمینه‌های مختلف اتوایمنی، سرطان‌ها و بیماری‌های عفونی را هموار می‌نماید.

کل واژگان: سلولهای دندریتیک خون محیطی، انتخاب منفی، بید مغناطیسی متصل به آنتی‌بادی

نشریه پزشکی یاخته، سال ششم، تابستان ۸۳، شماره ۲۲، صفحات ۹۶-۹۱

مقدمه

جدا کردن DCs است ولی تعداد بسیار کم این سلولها که در مقالات مختلف بین حداقل ۵/۵ درصد تا حداکثر ۲/۶ درصد سلولهای تک هسته‌ای خون محیطی (MNC) گزارش شده (۴، ۵، ۶) و فقدان شاخص رده‌ای مشخص، جداسازی این سلولها را به روندی پیچیده تبدیل ساخته است. DCهای موجود در خون محیطی به علت فقدان مولکول CD ۸۳ و ابراز کم مولکولهای چسبان و هم تحریکی مانند CD۸۰، CD۸۶، CD۴۰ نابلع محسوب می‌شوند (۶). این سلولها به دو زیر گروه لنفونیدی (HLA-DR⁺ CD11c⁻، CD2⁻، CD33^{Dim}) و میلیونیدی (HLA-DR⁺ CD11c⁺، CD2⁺، CD33^{Bright}) تقسیم شده (۶، ۷)

سلولهای عرضه کننده آنتی ژن (antigen presenting cells) (APC) با اتصال به لنفوسیت T، عرضه آنتی‌ژن و ارسال پیامهای ثانویه سبب تحریک لنفوسیت T می‌شوند. در بین APCهای حرفه‌ای DCs دارای قدرت انحصاری در ایجاد پاسخ اولیه در لنفوسیت T باکره هستند (۱). سلولهای DC انسان برخلاف DC موش فاقد شاخص رده‌ای خاص بوده و از پیش‌سازهای CD۳۴⁺ در مغز استخوان مشتق می‌شوند. این سلولها از طریق گردش خون به سایر بافت‌های بدن منجمله بافت‌های لنفوی ثانویه رفته و در آنجا بالغ می‌گردند (۱، ۲، ۳). در انسان خون محیطی منبع نسبتاً مناسبی برای

کنترل (IgG2a) CD 14, (IgG1) Cd11b, (IgG1) Cd3 (کنژوگه با FITC) و کنترل ایزوتیپ مربوطه از شرکت IQ product هلند و anti-mouse بزوی از نوع F(ab')² (کنژوگه با PE) از شرکت Serotec انگلستان تهیه شد.

جداسازی سلولهای تک هسته‌ای از بافی‌کت^۴

۲۰ نمونه بافی‌کت افراد نرمال و بالغ (۲۰-۴۰) سال از سازمان انتقال خون ایران تهیه شد. نمونه گیری به صورت در دسترس از اهدا کنندگانی که خون اهدایی آنها به منظور تهیه گلبول قرمز فشرده و پلاکت مورد استفاده قرار می‌گرفت، انجام شد. در مرحله بعد با مصرف حدود ۱۵ میلی‌لیتر بافی‌کت، سلولهای تک هسته‌ای با سانتریفوژ بر روی فایکول (Seromed آلمان) (۶۰۰ گرم به مدت ۱۵ دقیقه در دمای اتاق) جدا گردید (۲۱). به منظور حذف پلاکت‌ها، از سه نوبت شستشوی سلولها با RPMI (Sigma، آمریکا) در ۲۰۰ گرم به مدت ۱۰ دقیقه استفاده شد، پلاکت‌ها سبب تشکیل تجمعات سلولی^۵ شده و به روند جداسازی DCs آسیب می‌رسانند. در مرحله آخر سلولهای به دست آمده، شمارش شده و درصد سلولهای زنده با استفاده از تریپان بلو (Merck، آلمان) تعیین گردید.

حذف لنفوسیت‌های T با روش روزت

در این مرحله سلولهای T از طریق مجاورت MNC با گلبول قرمز گوسفند تیمار شده (SRBC) تیمار شده با AET^۶ (SERVA، آمریکا) و تشکیل روزت حذف گردیدند. SRBC تازه از سازمان انتقال خون ایران خریداری و حداکثر به مدت سه هفته در محلول آلسیویر^۸ نگهداری و استفاده شد. جهت تیمار SRBC با AET، سلولهای SRBC با بافر فسفات سالین شستشو شده به نسبت ۴:۱ با محلول AET ۴ درصد در آب مقطر، مخلوط شده و به مدت ۲۰ دقیقه در بن‌ماری در دمای ۳۷ درجه سانتی‌گراد انکوبه شدند. پس از سه بار شستشو با افزودن RPMI حاوی ۱۰ درصد FCS (Gibco، آلمان)، سوسپانسیون ۴ درصد از SRBC تیمار شده تهیه و با نسبت ۱:۱ با سوسپانسیون سلولی (با غلظت ۱×۱۰^۷ سلول MNC در میلی‌لیتر) مخلوط شد. آنگاه به میزان ۵۰ درصد به آن FCS اضافه گردید. مخلوط سلولها به مدت ۲ ساعت در ۴ درجه سانتی‌گراد انکوبه گردید. لنفوسیت‌های T موجود در مجموعه سلولهای تک هسته‌ای با SRBC تیمار شده تشکیل روزت داده (ER⁺) و در مرحله بعد با استفاده از فایکول جداسازی شدند.

که دو زیر گروه مذکور از لحاظ خصوصیات فنوتیپی، تکوینی و عملکردی با هم تفاوت دارند (۸) هر کدام از زیر گروههای مذکور به صورتی متفاوت سبب القا پاسخ ایمنی یا تولرانس در زیرگروههای Th2, Th1 شده و به تبع آن نوع متفاوتی از پاسخ ایمنی را آغاز یا خاموش می‌کنند (۲، ۶، ۹).

نظر به اهمیت DCs در القا ادامه، تنظیم و تعیین نوع پاسخ ایمنی و اهمیت روز افزون سلولهای DCs در تومور تراپی (۱۰، ۱۱، ۱۲)، درمان آلرژی (۱۳)، اتوایمنی^۱ (۱۴) و واکنش‌های علیه عوامل عفونی (۱۵، ۱۶، ۱۷) سهم عظیمی از مطالعات در سالهای اخیر به شناخت بیشتر عملکرد DCs اختصاص یافته است (۱). در کشور ما تاکنون در زمینه DCs انسان مطالعه نشده است. جداسازی سلول دندریتیک اولین گام در جهت شروع تحقیقات در این زمینه است.

در تمام روشهای کلاسیک جداسازی DCs، از کشت *in vitro* به مدت حداقل ۱۶ ساعت استفاده می‌شود. در ادامه با استفاده از کاهش خاصیت چسبندگی و دانسیته سلولهای دندریتیک جدا می‌گردند. از جمله می‌توان به تحقیقات Van Voorhis و همکاران در جداسازی DCs با روش چسبندگی به سطوح پلاستیکی و Xu و همکاران با روش کاهش دانسیته اشاره کرد (۱۸، ۱۹). ولیکن تحقیقات انجام شده براساس این روش به علت القاء بلوغ و ایجاد تغییر در عملکرد و فنوتیپ DCs قادر به گزارش خصوصیات واقعی DCs موجود در خون نیستند (۱۸).

در تحقیقات جدید برای خالص سازی PBDCs به صورت دست نخورده روش انتخاب منفی DSC ابداع شد که همه سلولها به جز DCs با روشهای مختلف از محیط حذف می‌شوند، برای مثال در روش O'Doherty و همکاران، لنفوسیت‌های T با روش روزت و سلولهای واجد FcR با روش mousey-globulin Panning حذف شده، سپس سلولهای T, NK, B و منوسیت از طریق مجاورت با کوکتلی^۲ از آنتی‌بادی‌های ضد این سلولها نشان‌دار شده و با روش Panning به سطح پتری‌دیش پوشیده از آنتی‌بادی علیه IgG موش^۳ متصل و در نهایت سلولهای غیرچسبان به عنوان DCs جمع‌آوری می‌شدند (۲۰). از آنجا که روشهای کلاسیک سبب القا بلوغ در DCs می‌گردد، سلولهای جدا شده نماینده واقعی سلولهای دندریتیک خون محیطی نیستند لذا در این تحقیق با استفاده از روش انتخاب منفی به غنی‌سازی سلولهای دندریتیک پرداختیم.

مواد و روشها

آنتی‌بادی‌های مورد استفاده

آنتی‌بادیهای منوکلونال موشی بر علیه HLA-CD56, Dr56, DR, (IgG) Cd19, (IgG2a) CD 16, (IgG1),

1. Auto immunity
2. mAbs Cocktail
3. anti-mouse IgG
4. Buffy coat
5. Aggregation

6. Sheep Red Blood Cell
7. S-(2-Aminoethyl) isothiuronium bromide)
8. Alsevers Solution

(EDTA2mM) در دمای 4 درجه سانتی گراد شستشو شد. در مرحله بعد از سلولهای حاصله، سوسپانسیون سلولی با غلظت $10^6 \times 25$ سلول در میلی لیتر تهیه شد. سپس به ازای هر 40 میکرو لیتر از سوسپانسیون سلولی مذکور، $17/5$ میکرو لیتر از بیدهای واجد **Mouse α -IgG** در دمای 4 درجه سانتی گراد اضافه و به مدت 1 ساعت مجاور شدند. این مرحله دوبار تکرار شد، به این صورت در کل به ازای هر سلول، 14 عدد بید مصرف شد. پس از پایان انکوباسیون سلولهایی که با mAb های ضد شاخص های رده ای نشاندار شده اند، الزاماً به بیدهای واجد **anti-IgG** (Dyna, Biotech) (نروژ) متصل و در مرحله بعد با استفاده از دستگاه **Magnet Particle Collector** (Dyna, Biotech) (نروژ) حذف شدند.

سلولهای باقیمانده با آسپیراسیون جدا شده و برای بررسی توسط دستگاه فلوسایتومتر آماده می شدند.

آنالیز فلوسایتومتری سلولهای بدست آمده با استفاده از رنگ آمیزی دوگانه

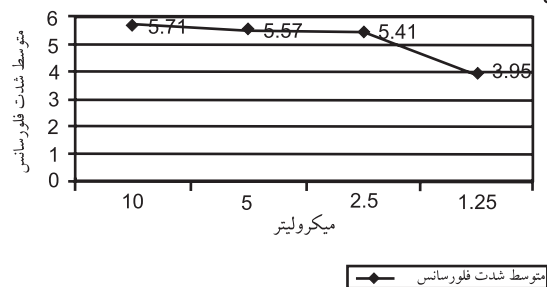
در این مرحله با روش فلوسایتومتری، سلولهایی که از نظر بروز آنتی ژن **HLA-DR** مثبت بوده ولی هیچ یک از شاخص های مربوط به سلولهای **B**، **T**، **NK** و منوسیت را نداشتند، (**Lin M⁻/HLA-DR⁺**) مورد شناسایی و شمارش قرار گرفتند. از آنجا که سلولها قبلاً با آنتی بادی لایه اول، یعنی mAb های ضد شاخص های رده ای پوشانده شده اند، به آنها آنتی بادی ضد **IgG**، موشی کتزوگه با **PE** اضافه شد. بعد از نیم ساعت انکوباسیون در دمای 4 درجه سانتی گراد و شستشوی سلولها، جهت اشغال محل های اتصال اضافه آنتی بادی لایه دوم، سلولها به مدت 10 دقیقه با سرم 10 درصد موش مجاور شدند و پس از یک مرحله شستشو، در مجاورت آنتی بادی ضد **HLA-DR** کتزوگه با پارافرمالدئید 1 درصد فیکس شده و با دستگاه فلوسایتومتر (**Partec**، دانمارک) آنالیز شدند. برای هر نمونه از کنترل ایزوتیپ مناسب استفاده گردید و درصد سلولهای **PE⁺-FITC⁻** که به منزله سلولهای **DCs** واجد **HLA-DR** و فاقد همه شاخص های رده ای بودند تعیین شد.

یافته ها

سلولهای دندریتیک دست نخورده با حذف سلولهای **T**، **B**، **NK** و منوسیت با روش روزت و **Immunomagnetic depletion**، غنی سازی شدند. در روش اخیر سلولهای **T**، **B**، **NK** و منوسیت با تیتراش شاخص کننده آنتی بادهای منوکلونال اختصاصی ضد هر یک از این سلولها پوشیده شده و سپس با بیدهای مغناطیسی متصل به **anti-mouse**، از سوسپانسیون حذف

تعیین تیتراش مناسب آنتی بادهای مورد استفاده برای تعیین حداقل غلظت اشباع کننده ی آنتی بادهای منوکلونال ضد شاخصهای رده ای سلولهای غیر **DCs** آنتی بادهای موشی بر علیه **(IgG1) Cd56**، **(IgG1) Cd19**، **(IgG2a) Cd14**، **(IgG1) Cd11b**، **(IgG1) Cd3**، **(IgG2a) Cd16**

مقادیر $2/5$ ، $1/25$ ، 5 و 10 میکرو لیتر از این mAbs به $10^6 \times 1$ سلول **MNC** در حجم 100 میکرو لیتر از **PBS** اضافه شد. در مرحله بعد به آنها مقادیر مساوی از **mouse - anti IgG** (5 میکرو لیتر) اضافه و متوسط شدت فلورسانس (**MFI**)¹ هر یک از تیتراها با استفاده از دستگاه فلوسایتو متر تعیین شد (شکل 1).



شکل 1: تعیین حداقل غلظت اشباع کننده منوکلونال آنتی بادی ضد **CD19** (مارکر اختصاصی لنفوسیت های **B**)، با استفاده از آنتی بادی لایه دوم و دستگاه فلوسایتومتر نشاندار نمودن 10^6 عدد سلولهای **MNC** با 10 ، 5 ، $2/5$ و $1/25$ میکرو لیتر از منوکلونال آنتی بادی ضد **CD19**. نمودار نشان دهنده ی افت **MFI** در تیترا $1/25$ است. حداقل تیترا اشباع کننده مناسب برای **CD19** مورد مصرف، $2/5$ میکرو لیتر می باشد.

ملاحظه افت ناگهانی **MFI** در یک تیترا، سبب انتخاب غلظت بالاتر به عنوان تیترا مناسب اشباع کننده می گردید (شکل 2). جهت یکنواخت شدن کار غلظت $2/5$ میکرو لیتر به عنوان حداقل تیترا اشباع کننده همه mAbs انتخاب شد. این روش سبب صرفه جوئی در مصرف آنتی بادهای منوکلونال گران قیمت به میزان یک چهارم گردید.

غنی سازی سلولهای دندریتیک با استفاده از

روش انتخاب منفی

سلولهای تک هسته ای باقی مانده در فاز رویی فایکول (**ER⁻**) جمع آوری شده و بعد از شستشو، با غلظت اشباع کننده از کوکتل mAb های خالص غیرکتزوگه (شامل mAb های ضد **CD16**، **CD19**، **CD3**، **CD11b**، **CD14**، **CD56**) در دمای 4 درجه سانتی گراد و به مدت نیم ساعت مجاور شدند. کوکتل آنتی بادی های ذکر شده همه از ایزوتیپ **IgG** بوده و به سلولهای **T**، **B**، **NK** و منوسیت متصل می گردند.

در این مرحله سلولها دوبار با بافر **PBS** (1/0 درصد **BSA** و

1. Mean Fluorescence Intensity

حذف سلولهای NK, B و منوسیت و لنفوسیت‌های T باقیمانده از مرحله قبل با روش Immunomagnetic depletion با نشاندار کردن این سلولها با mAbهای اختصاصی (anti-CD16, anti-CD14, anti-CD3 anti-CD11b, anti-CD56, anti-CD19) حذف آنها توسط بیدهای واجد Mouse-anti IgG متصل به بیدهای مغناطیسی منجر به غنی‌سازی DCs به میزان $4/5 \pm 5/5$ درصد گردید (شکل ۲ د).

بحث

برای جداسازی سلولهای دندریتیک روشهای متفاوتی مورد استفاده قرار گرفته‌اند که به صورت جداگانه یا ترکیبی استفاده شده‌اند. این روشها را می‌توان به ۳ دسته روشهای Adherence depletion و Density-gradient separation و Removal of contaminating cells تقسیم کرد (۱۸).

در روش Adherence depletion از خاصیت چسبندگی افتراقی MNCs به سطوح پلاستیکی استفاده می‌شود (۲۳). پس از کشت کوتاه مدت (۶۰-۹۰ دقیقه) به همراه منوسیتها به کف پلیت می‌چسبند، در صورتی که سایر MNCs فاقد قدرت چسبندگی بوده و در این زمان می‌توان DCs را به همراه منوسیتها از سلولهای غیرچسبنده جدا کرد. ادامه کشت سلولهای چسبنده به مدت ۱۶ ساعت سبب از دست رفتن خاصیت چسبندگی DCs شده و DCs در محیط کشت شناور می‌شوند، در این زمان می‌توان DCs را از منوسیتها جدا کرد. تکرار یک دور دیگر از کشت شبانه سبب حذف بیشتر منوسیتها و غنی‌سازی DC تا حد ۶۰-۲۰ درصد می‌شود. جهت حذف منوسیتهایی که به پلت متصل نمی‌شوند می‌توان از بلع ذرات carbonyl iron و سپس آهن ربا استفاده کرد. DCs چون فاقد قدرت فاگوسیتوز هستند از محیط حذف نمی‌شوند (۱۸).

در روش Immunomagnetic depletion منوسیتها به همراه سایر سلولهای واجد شاخص‌های رده ایی اختصاصی با آنتی‌بادیهای منوکلونال و بیدهای anti-IgG نشان‌دار شده و همزمان با آهن ربا از محیط خارج می‌شوند. سلولهای دندریتیک که با روش Adherence depletion جدا می‌شوند به دلایل زیر معرف واقعی DCs محیطی انسان نیستند: الف- سلولهای DC بعد از کشت شبانه بالغ شده، اندازه آنها بزرگتر و زواید بلندی در سطح DCs آشکار می‌گردد. ابراز مولکولهای MHC، چسبان و هم تحریکی بر سطح DCs افزایش یافته و قدرت آنها در اتصال و تحریک سلول T شدت می‌یابد (۲۰).

ب- زیر گروه خاصی از DCs انسان در کشت کوتاه مدت دارای خاصیت چسبندگی شدید بوده ولی سایر DCs به کف پلت متصل نشده و تعداد قابل توجهی از آنها همراه با سلولهای غیرچسبنده از محیط حذف می‌شوند (۲۰).

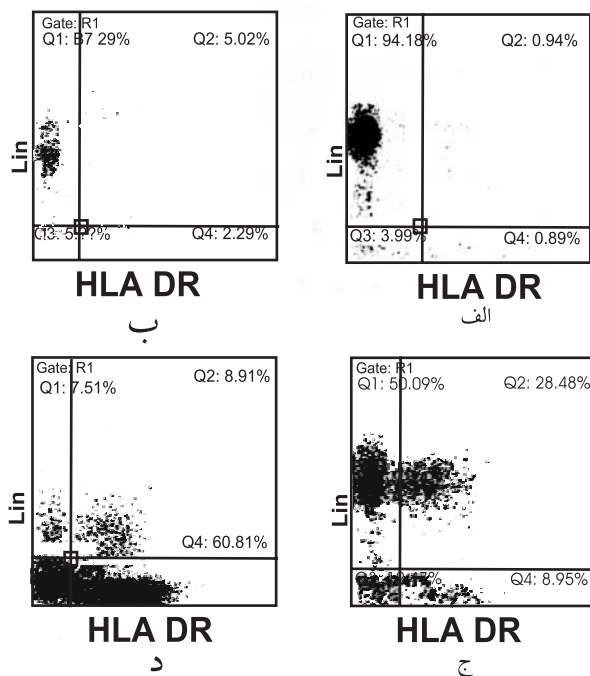
در روش Density-gradient separation دانسیته DCs بعد

شدند. سلولهای دندریتیک در مراحل مختلف غنی‌سازی با آنتی‌بادی ضد HLA-DR موشی (کنژوگه با FITC) و آنتی‌بادی ضد IgG موشی (کنژوگه با PE). رنگ شده و درصد DCs با استفاده از دستگاه فلوسایتومتر تعیین شد.

فراوانی سلولهای دندریتیک در هر یک از مراحل از غنی‌سازی در ۵ نمونه بررسی گردیده است (شکل ۲).

فراوانی سلولهای دندریتیک در خون محیطی بسیار کم بوده به صورتی که نتایج به دست آمده از سلولها با استفاده از فلوسایتومتری نشان دهنده حضور کمتر از ۱ درصد سلولهای DCs (Lin M⁻/HLA-DR⁺) در مجموعه سلولهای هسته‌دار خون محیطی بود (شکل ۲ الف).

بعد از جداسازی MNC خون محیطی به کمک فایکول فراوانی این سلولها به $2/5 \pm 0/35$ درصد رسید (شکل ۲ ب).



شکل ۲: مشاهده مراحل خالص‌سازی DCs براساس تعداد Lin M⁻/HLA-DR⁺ PBDC در یک نمونه از سلولهای هسته‌دار خون محیطی (الف) سلولهای MNC (ب) سلولهای MNC بعد از حذف لنفوسیت‌های T با روش روزت (جمعیت ER⁻) (ج) سلولهای Lin خالص شده با استفاده از روش انتخاب منفی (د) سلولهای منکور با شاخص‌ای رده ایی کنژوگه با PE و HLA-DR کنژوگه با FITC به صورت دوگانه نشاندار شدند. سلولهای PBDC (Lin M⁻/HLA-DR⁺) در ناحیه Q4 نمودار قرار گرفته و فراوانی آنها به صورت درصد نشان داده شده است. کنترل‌های ایزوتیپ مربوطه در شکل نشان داده نشده و اعداد نماینده پنج آزمایش مستقل می‌باشند.

بعد از حذف سلولهای T توسط روش روزت، فراوانی سلولهای Lin M⁻/HLA-DR⁺ افزایش یافته و به $7/14 \pm 1/63$ درصد رسید (شکل ۲ ج).